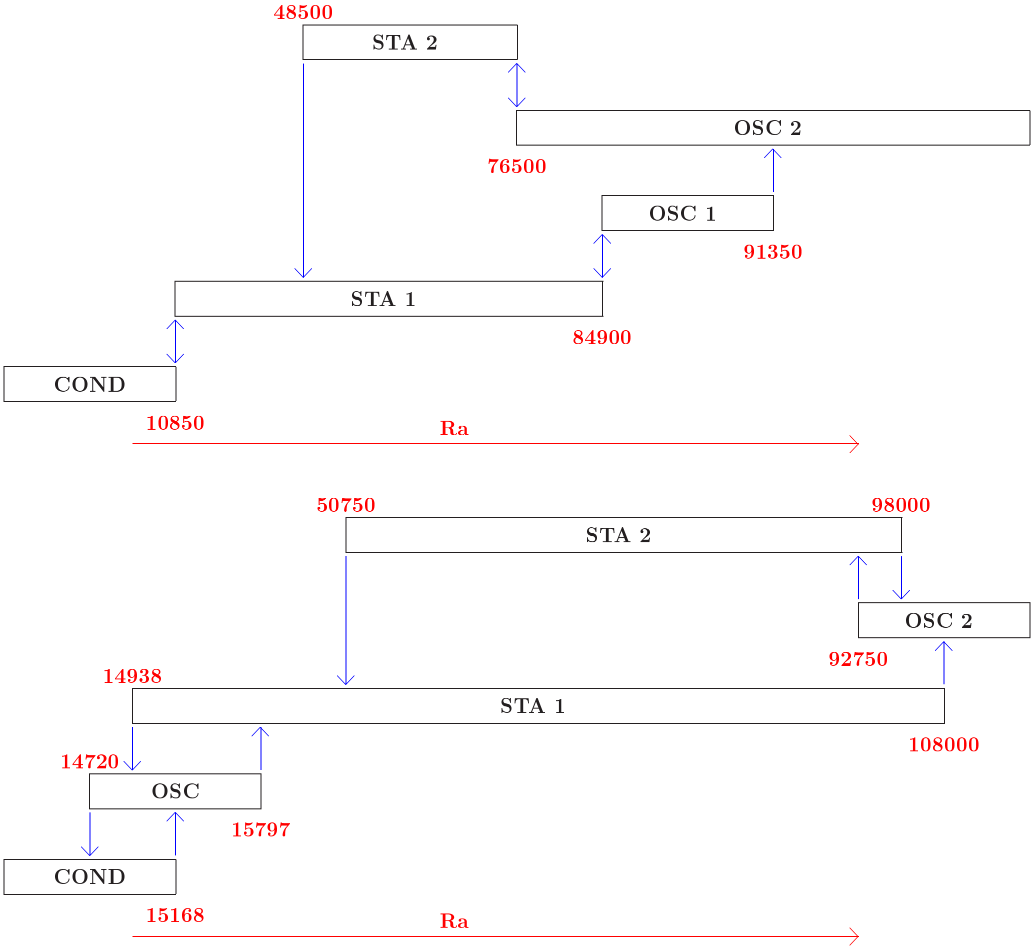


Figure 1: Résumé des branches de solutions pour un fluide pur (haut) et un liquide binaire (bas). Les régimes conductif, convectifs stationnaires et oscillants sont respectivement étiquetés COND, STA et OSC. Les états communs aux deux systèmes portent des noms identiques. Les transitions entre états dues aux variations de *Ra* sont indiquées par les flèches.

| Etat | Fluide pur | | Liquide binaire | |
|---|---|---|---|---|
| | début | fin | début | fin |
| COND | | $\text{Fourche}_{\text{super}}$ | | $\text{Hopf}_{\text{sous}}$ |
| OSC | | | Noeud-col | **Homocline** |
| STA 1 | $\text{Fourche}_{\text{super}}$ | **Hétérocline** | Noeud-col | $\text{Hopf}_{\text{sous}}$ |
| OSC 1 | **Hétérocline** | Noeud-col | | |
| STA 2 | Noeud-col | $\text{Hopf}_{\text{super}}$ | Noeud-col | Noeud-col |
| OSC 2 | $\text{Hopf}_{\text{super}}$ | ? | $\text{Hopf}_{\text{sous}}$ | ? |

Table 1: Récapitulatif des bifurcations marquant les naissances et disparitions des branches de solutions. Les indices $_{\text{super}}$ et $_{\text{sous}}$ précisent la nature super- ou sous-critique des bifurcations locales.